

# خاستگاه و تحولات ماقماهای بازالتی کواترنری شمال باختری آذربایجان (بورلان تا گنبد)

## با استفاده از بررسی‌های ایزوتوپی Sr-Nd

منیره خیرخواه\* و محمددهشم امامی<sup>۱</sup>

<sup>۱</sup> پژوهشکده علوم زمین، سازمان زمین‌شناسی و اکتشافات معدنی ایران، تهران، ایران

تاریخ دریافت: ۱۳۸۷/۱۲/۱۷

تاریخ پذیرش: ۱۳۸۸/۰۹/۲۸

### چکیده

در منتهی‌الیه شمال باختری ایران، در منطقه آذربایجان غربی سنگ‌های آتشفسانی بازیک در طی کواترنری گسترش وسیعی یافته‌اند. این منطقه در بخش میانی کوهزاد آلپ-هیمالیا و در فلات مرتفع ایران-ترکیه در آناطولی خاوری واقع شده است. گدازه‌های بازیک کواترنری با طیف ترکیبی متنوعی از بازالت قلایی، بازالت آندزیتی، تراکی بازالت آندزیتی تا تراکیت و با گستره وسیع بر روی نهشته‌های رسوبی قرار گرفته‌اند. این سنگ‌ها که از مراکز آتشفسانی، شکستگی‌های ژرف، گسل‌های امتدادلغز در حوضه‌های فراکشنی برون ریزی داشته‌اند، از ویژگی‌های ساختاری و سنگ‌شناختی متفاوتی برخوردارند. در راستای پژوهش بر روند تکامل و منشأ ماقماهای بازالتی در حوضه‌های ایزوتوپی سنج‌شناختی، منیزیتی و سنگ‌نگاری و سنگ‌شناختی، ده نمونه از منطقه برای بررسی‌های ایزوتوپی نسبت‌های  $^{87}\text{Sr}/^{86}\text{Sr}$ ،  $^{143}\text{Nd}/^{144}\text{Nd}$  انتخاب شد که حاصل آن مقایسه با داده‌های ایزوتوپی سنج‌شناختی مشابه در ترکیه است. تفسیر بررسی‌های ایزوتوپی بر روی نمونه‌های بازیک آذربایجان گویای آن است که منشأ ماقماهای بازالتی در شمال باختری آذربایجان، گوشه‌ای و در محدوده ترکیب کلی زمین (Bulk Earth) واقع شده‌اند. ترکیب سنگ‌های بازالتی شمال منطقه گوشه‌تای حدودی تهی شده (depleted mantle) است که در مناطق جنوبی همراه با آلایش پوسته‌ای می‌باشد.

**کلیدواژه‌ها:** آذربایجان غربی، گدازه‌های بازیک کواترنری، بررسی‌های ایزوتوپی، ماقماهای اولیه، گوشه‌تای شده، آلایش پوسته‌ای.

E-mail: Kheirkhah.monireh@gmail.com

\* نویسنده مسئول: منیره خیرخواه

### ۳- بررسی‌های سنگ‌شناختی سنگ‌های بازی کواترنری منطقه

سنگ‌های آتشفسانی کواترنری به ننگ‌های تیره (خاکستری، قهوه‌ای) در منطقه گستردیده‌اند. بر اساس بررسی‌های صحرایی، سنگ‌نگاری و سنگ‌شناختی، بازالت‌های کواترنری در ۵ محدوده آتشفسانی مورد بررسی قرار گرفته‌اند (شکل ۲). با مطالعات صحرایی و بررسی‌های سنگ‌نگاری، سنگ‌های بازالتی به طور عمده آفانیتیک و گاه دارای درشت بلورهای الیوین، پلاژیوکلаз و پیروکسن هستند که در رده‌بندی بافتی، طیف تدریجی از هیالوپوروفیریک (شکل ۳-الف)، هیالومیکروفیلیت پوروفیریک (شکل ۳-ب)، تراکیتی تا اینترسراکت (شکل ۳-ج) و اینترگرانولار را شامل می‌شوند. با بررسی‌های کانی‌شناسی و شیمی‌کانی‌های منطقه، این سنگ‌ها به طور عمده دارای کانی‌های پلاژیوکلاز، پیروکسن و الیوین هستند که واحدهای میانه (آندزی - بازالتی) حاوی آمفیبول و بیوپیت و ییگانه‌بلور کوارتز و فلدسپار قلبایی هستند. در شیشه اپاسیتی شده خمیره بیشتر سنگ‌های منطقه، آپاتیت و کانی‌های کدر (تیتانومکتنیت) پراکنده‌اند. در بازالت‌های مناطق جنوبی وجود ییگانه‌بلور کوارتز با حاشیه واکنشی در مجاورت الیوین (شکل ۳-د) و همچنین حضور فلدسپار قلبایی در خمیره ناشی از آکلودگی پوسته‌ای است. بافت‌های غربالی (شکل ۳-و)، اسکلتی، منطقه‌بندی عادی و معکوس درشت بلورهای شکل‌های دندانیتی، دم چلچله‌ای و اسپاکی میکرولیت‌های در سنگ‌های منطقه قابل مشاهده است که ناشی از سرد شدگی سریع گدازه‌های منطقه است. حاشیه اپاسیتی شده بلورها وجود ییگانه‌بلورهای کوارتز در مجاورت الیوین در خمیره سنگ‌های قلبایی حاوی الیوین و پلاژیوکلاز‌های بازیک و انواع بافت‌های دانه‌بریز و دانه‌درشت و یا انواع شیشه‌های میانه و بازیک در مجاورت هم (شکل ۳-ه)، از مهم‌ترین شواهد عدم تعادل و آمیختگی و آلایش ماقماهای در سنگ‌های منطقه است که با مشاهدات سنگ‌نگاری نتیجه شده است (خیرخواه، ۱۳۸۵).

بر اساس طبقه‌بندی‌های شیمیایی در نمودار (Floyd and Winchester 1976) و Cox et al. (1979) این سنگ‌ها در محدوده‌های قلبایی، بازالت قلبایی، آندزی-بازالت، تراکی نفلینیت، تراکیت و فنولیت واقع شده‌اند (شکل‌های ۴-الف و ب). بر اساس نمودار (Irvine and Baragar 1971) این نمونه‌های مناطق چالدران، بازرگان

### ۱- مقدمه

گستره وسیع بازالت‌های کواترنری آذربایجان غربی در شناخت ماهیت ماقماهای اولیه منطقه و فرایندهای مؤثر از اهمیت ویژه‌ای برخوردار است. دارد که در شناخت سرگذشت بخش شناسی از ماقماهایی از جوان ایران و تحولات ماقماهای احتمالی، حائز اهمیت است. منطقه مورد مطالعه در طول‌های جغرافیایی  $۵^{\circ} ۰' \text{ و } ۴۴^{\circ} ۰'$  تا  $۱۰^{\circ} ۰' \text{ و } ۴۵^{\circ} ۰'$  خاوری و  $۴۷^{\circ} ۰' \text{ تا } ۳۷^{\circ} ۰'$  و  $۳۹^{\circ} ۰'$  عرض شناسی در استان آذربایجان غربی واقع شده است. روانه‌های بازالتی آرارات در شمال منطقه از حوالی مرز ترکیه تا حواشی رودخانه ارس بر روی آبرفت‌های کواترنری و نهشته‌های رسوبی قدیمی‌تر با گسترش وسیعی قرار گرفته‌اند که زیباترین و متنوع‌ترین ساختهای آتشفسانی را در منطقه به وجود آورده‌اند. گدازه‌های بازالتی در منطقه به شکل آتشفسانهای نوع هاوابی، استرومبوولی در محدوده‌های بورلان (شمال ماکو)، بازرگان - ماکو - پلدشت، چالدران - سیه چشم، سلماس و گبد (باختراورومیه) گسترش یافته‌اند. گدازه‌های نواحی شمالی منطقه (بورلان، بازرگان - ماکو - پلدشت) در ارتباط با گدازه‌های آرارات و گدازه‌های مناطق جنوبی (چالدران، سلماس و باختراورومیه) با گدازه‌های تندور که در ترکیه مشابه دارند. ریخت‌شناسی گدازه‌های بازالتی کواترنری منطقه دارای ساختهای سطحی از نوع پاهوهو (شکل ۱-الف)، آآ، تومولوس (شکل ۱-ب)، شکاف‌های فشاری، حفره‌دار، گدازه‌های گل کلمی و همچنین ساختهای درونی شامل انواع ساختهای های منشوری (شکل ۱-ج)، لایه‌بندی گدازه‌ای، غارها (شکل ۱-د) و کانال‌های گدازه‌ای هستند.

### ۲- روش‌های پژوهش

اساس این پژوهش بر ژئوشیمی عناصر اصلی و کمیاب در سنگ‌های مختلف استوار است. در طی پنج مرحله عملیات صحرایی بیش از ۳۰۰ نمونه سنگ‌نگاری برداشت شده است و ۱۷۰ نمونه تحت تجزیه‌های XRF و ICP در آزمایشگاه سازمان زمین‌شناسی ایران و دانشگاه دوره‌ام انگلستان قرار گرفته‌اند. افزون بر این ده نمونه بازالتی از منطقه انتخاب و در دانشگاه Leicester انگلستان مورد تجزیه ایزوتوپی نسبت‌های عناصر Nd و Sr قرار گرفته‌اند.

آذربایجان غربی در برابر فاصله فرضی از یکدیگر (نمودارهای ۹ و ۸) و با مقایسه با بازالت‌های آرارات و تندورک (Pearce et al., 1990)، از سمت شمال باختری تا جنوب خاوری منطقه از نسبت‌های ایزوتوپی  $^{87}\text{Sr}/^{86}\text{Sr}$  ند $^{143}\text{Nd}/^{144}\text{Nd}$  بازالت‌ها کاسته و بر نسبت‌های ایزوتوپی  $\text{Sr}$  آنها افزوده می‌شود. بازالت‌های آرارات هم‌روند با بازالت‌های مناطق شمالی و تراکی بازالت‌های تندورک هم روند با نمونه‌های چالدران قرار گرفته‌اند.

در نمونه‌های همبستگی ایزوتوپی  $^{87}\text{Sr}/^{86}\text{Sr}$  در برابر  $^{143}\text{Nd}/^{144}\text{Nd}$  (Rollinson, 1993)

گرچه منشأ بازالت‌ها، گوشه‌ای و در محدوده آرایه گوشه‌های بازالتی در شمال این نمونه‌های شمالي منطقه و نمونه‌های آرارات و تندورک در محدوده گوشه نسبتاً تهی شده با نسبت  $\text{Sr}/\text{Rb}$  پایین و  $\text{Sm}/\text{Nd}$  بالاتر (از عناصر REE سبک تهی شده‌اند) قرار گرفته‌اند، (نمودار ۱۰) در حالی که نمونه‌های مناطق دیگر آذربایجان غربی عموماً در محدوده ترکیب اصلی زمین (BSE) (واقع شده و در نسبت  $^{87}\text{Sr}/^{86}\text{Sr}$  غنی شدگی دارند.

برای بررسی بازالت‌های قاره‌ای در آرایه گوشه‌ای از نمونه‌های تغییرات نسبت‌های

ایزوتوپی  $^{87}\text{Sr}/^{86}\text{Sr}$  در برابر  $^{143}\text{Nd}/^{144}\text{Nd}$  (Faure, 1986) برای نمونه‌های منطقه استفاده شده است

(نمودار ۱۱)، که برای نسبت‌های ایزوتوپی  $\text{Nd}$  در  $\text{Rb}$  و  $\text{CHUR}$  و  $\text{Sr}$  در  $\text{UR}$  است.

نمودار (بر اساس ۱۹۸۶)، برای سادگی در تفسیر داده‌ها به چهار بخش تقسیم

شده است، بازالت‌های آذربایجان غربی در محدوده بخش‌های اول و دوم و چهارم

واقع شده‌اند. بازالت‌های شمالی منطقه، در محدوده بخش دوم (آرایه گوشه‌ای)

با نسبت‌های  $\text{Sm}/\text{Nd}$  بالاتر ( $f_{\text{Sm}} > 0$ ) نسبت به  $\text{CHUR}$  و نسبت‌های پایین تر  $\text{Rb}/\text{Sr}$

( $f_{\text{Rb}} < 0$ ) در مقایسه با  $\text{UR}$ ، واقع شده‌اند، ویژگی یاد شده ناشی از مواد جامد برجای

مانده از ذوب بخشی گوشه تغیریق نیافته است (Faure, 1986). در زیر قاره‌ها،

ماگمایی تهی شده، متکل از جامدات باقی مانده با نسبت  $\text{Sm}/\text{Nd}$  بالا و نسبت  $\text{Rb}/\text{Sr}$

پایین است (Ajlegre et al., 1982). نمونه‌های چالدران در بخش اول واقع شده‌اند

که دارای نسبت‌های  $\text{Sm}/\text{Nd}$  ( $f_{\text{Sm}} > 0$ ) و  $\text{Rb}/\text{Sr}$  ( $f_{\text{Rb}} > 0$ ) بزرگ‌تر از مقادیر موجود در

نمودار  $\text{CHUR}$  هستند که ناشی از منشأ غنی از  $\text{Rb}$  این سنگ‌ها است.

نمونه‌های مناطق جنوبی (بویژه سلامس) با نسبت‌های پایین  $\text{Sm}/\text{Nd}$  ( $f_{\text{Sm}} < 0$ ), تهی از  $\text{Sm}$  و نسبت‌های بالا ( $f_{\text{Rb}} > 0$ ) ( $\text{Rb}/\text{Sr}$ ، غنی از  $\text{Rb}$  هستند، به احتمال، از منابع غنی از  $\text{Rb}$  و تهی از  $\text{Sm}$  مشتق شده‌اند یا می‌توانند پر اثر آلایش ماگمایی مشتق از مواد برجای مانده از سنگ‌های آذرین و دگرگونی پوسته قاره‌ای، تشکیل شده و فرآورده نهایی تغیریق ژئوشیمیایی گوشه باشد که گویای آلدگی پوسته‌ای و آلایش ماگمایی اولیه این سنگ‌ها هستند. سنگ‌هایی که در این بخش واقع می‌شوند غنی از  $\text{Rb}$  و تهی از  $\text{Sm}$  هستند (Faure, 1986). تفاوت در ویژگی‌های ژئوشیمیایی  $\text{Rb}-\text{Sr}-\text{Nd}$  و  $\text{Sm}-\text{Nd}$  ناشی از تفاوت مؤلفه‌های ایزوتوپی  $\text{Nd}$  و  $\text{Sr}$  در پوسته و گوشه زمین است که برای برآورد منشأ سنگ‌های آذرین استفاده می‌شود (Faure, 1986). سنگ‌های پوسته‌ای نسبت‌های بالاتر از  $\text{Rb}/\text{Sr}$  و نسبت‌های پایین تری از  $\text{Sm}/\text{Nd}$  نسبت به منشأ ماگماهای گوشه‌ای در راستای مطالعه آلدگی منشأ ماگمای اولیه بازالت‌های منطقه از نمونه‌های آلدگی ماگمایی برای نسبت‌های ایزوتوپی استفاده شده است. از تغییرات نسبت ایزوتوپی  $^{87}\text{Sr}/^{86}\text{Sr}$  در برابر اکسیدهای عناصر اصلی می‌توان، تغییرات درجه ذوب بخشی یک منشأ همگن یا تبلور بخشی از ماگمای والد و آلایش پوسته قاره‌ای را تعیین نمود (Pearce et al., 1990).

در شکل ۱۲ بازالت‌های مناطق جنوبی (با درصد وزنی  $\text{SiO}_2$  از ۴۶ تا

۵۲/۲۳ و با نسبت ایزوتوپی  $^{87}\text{Sr}/^{86}\text{Sr}$  از ۷۰.۴۹۷۹ تا ۷۰.۵۰۵۰) در روند

فرایند آلایش، هضم و تغیریق واقع شده‌اند که تأثیر آلدگی پوسته‌ای را در

سنگ‌های منشأ نشان می‌دهند. بازالت‌های مناطق شمالی از بورلان به سمت

ماکو در روند فرایند افزایش تبلور بخشی و کاهش ذوب بخشی قرار دارند.

در شکل ۱۳، بازالت‌های مناطق جنوبی (با درصد وزنی  $\text{MgO}$  از ۳/۸۵ تا ۱۱/۴۶

- ماکو - پلدشت و برخی از نمونه‌های سلامس در محدوده قلایی و نمونه‌های شمال ماکو، سلامس و باختر ارومیه در محدوده نیمه قلایی قرار دارند.

### ۴- مروری بر فعالیت‌های آتششانی آرارات و تندورک در طی کواترنری

باتوجه به نزدیکی آتششانهای آرارات و تندورک، با فعالیت آتششانی کواترنری آذربایجان غربی ایران و جاری شدن روانه‌های بازالتی در شمال منطقه (ماکو) در طی کواترنری، این دو منطقه (شکل ۵) مورد مطالعه و مقایسه قرار گرفته‌اند. گدازه‌های آنتزی بازالتی آرارات از دهانه‌های آتششانی (کراترها) در امتداد دامنه‌ها به شکل جریان‌های طبایی و گدازه‌های آبروی آبرفت‌های جوان کواترنری آذربایجان غربی تشکیل روانه‌های بازالتی و گاه فرانه‌های انفجاری (خاکستر و روانه‌های گلی) داده‌اند. آتششان تندورک که در ۵۰ کیلومتری جنوب آرارات، در نزدیکی مرز ایران (چالدران)، در امتداد گسل امتدادلغز Bulik با محوری طویل و روندی شمالی-جنوبی واقع شده است و مشکل از گدازه‌های بازالتی، گدازه‌های تراکیتی و لایه‌های متواالی از سنگ‌های آذرآواری است. در زمانی که آرارات دوره خاموشی را آغاز کرده، تندورک هنوز فعال (حدود ۲۵۰۰ سال پیش) بوده است. گدازه‌های آرارات (بر اساس نمونه‌های تندورک در محدوده های قلیر و غنی از سیلیس قرار گرفته‌اند و گدازه‌های تندورک در محدوده قلیر از سیلیس واقع شده‌اند. در نمونه‌های تندورک (Irvine and Baragar, 1971) گدازه‌های آرارات در محدوده نیمه قلایی و گدازه‌های تندورک در محدوده قلایی قرار دارند (شکل ۶).

### ۵- مطالعه نسبت‌های ایزوتوپی $\text{Sr}$ و $\text{Nd}$ نمونه‌های بازالتی منطقه

با توجه به اهمیت سنگ‌شناسی و سنگ‌زدایی منشأ بازالت‌های منطقه، آزمایشات نسبت‌های ایزوتوپی  $^{87}\text{Sr}/^{86}\text{Sr}$  و  $^{143}\text{Nd}/^{144}\text{Nd}$  برای شناخت منشأ ماگمای اولیه و آلایش‌های ماگمایی تأثیر گذار انجام شده است. نتایج تجزیه‌ها در جدول ۱ آورده شده است. همان‌گونه که در این جدول دیده می‌شود، طیف ترکیبی نسبت‌های ایزوتوپی استرنسیم ( $^{87}\text{Sr}/^{86}\text{Sr}$ ) نمونه‌های انتخابی این منطقه از ۷۰.۵۷۰۵ تا ۷۰.۴۴۵۲٪ متغیر است. در بازالت‌های منطقه چالدران (در جنوب کشمکش تپه)، بیشینه این نسبت و در نمونه‌های بورلان (شمال ماکو) در مرز ترکیه، کمینه این نسبت دیده می‌شود. نسبت ایزوتوپی عنصر نودیمیم ( $^{143}\text{Nd}/^{144}\text{Nd}$ ) از ۵۱۲۶۷٪ تا ۵۱۲۹۳٪ متغیر است، که بیشترین نسبت ایزوتوپی این عنصر در بازالت‌های مسیر رودخانه زنگمار در شمال روستای قله تپه و کمترین آن مربوط به بازالت‌های دهانه آتششانی (کراتر) سلامس است. در نمونه‌های همبستگی ایزوتوپی  $\text{Sr}$ ,  $\text{Nd}$ ,  $\text{Sm}$ ,  $\text{Rb}$ ,  $\text{CHUR}$ ، نمونه‌های منطقه در نزدیکی محدوده ترکیب اصلی زمین (BSE)، نمونه‌های مناطق شمالی در محدوده گوشه تهی شده و نمونه‌های مناطق جنوبی در محدوده ترکیب اصلی زمین و در برخی مناطق (چالدران-سلامس) با غنی شدگی بیشتری از نسبت  $^{87}\text{Sr}/^{86}\text{Sr}$  قرار گرفته‌اند (شکل ۷). پوسته قاره‌ای بیشتر دارای نسبت ایزوتوپی پایین تری از  $\text{Nd}$  و نسبت ایزوتوپی بالاتری از  $\text{Sr}$  است، در حالی که ماگمای گوشه‌ای رابطه‌ای معکوس را نشان می‌دهد (Best, 2001; Rollinson, 1993).

### ۶- نمونه‌های مقایسه‌ای

با توجه به همچوایی دو آتششان عمده تندورک و آرارات در ترکیه با گستره بازالتی منطقه آذربایجان غربی در ایران، جاری شدن روانه‌های بازالتی آرارات در شمال این منطقه در طی کواترنری و شاهت ویژگی‌های سنگ‌شناسی، ژئودینامیکی و ژئوشیمیایی سنگ‌های دو منطقه، داده‌های ایزوتوپی آنها با یکدیگر مقایسه شده‌اند (شکل ۸ و ۹). با رسم نسبت‌های ایزوتوپی  $^{87}\text{Sr}/^{86}\text{Sr}$  و  $^{143}\text{Nd}/^{144}\text{Nd}$  بازالت‌های نواحی مختلف

منشأ مگماهای تهی شده گوشه به بالای دارند. بازالت‌های مناطق جنوبی (سلماس، باختراومیه و چالدران) از نسبت  $K_2O/P_2O_5$  کم تا متوسط و نسبت  $Sr$  بالاتری برخوردارند، بازالت‌هایی گوشه‌ای و با آلایش پوسته‌ای شدیدتری هستند. دیگر بازالت‌ها نسبت ایزوتوپی  $Sr$  بیش از  $70/70.5$  کم، منشأ سنگ کره گوشه‌ای (۳) را نشان می‌دهند که سنگ‌هایی بازالتی منطقه مورد مطالعه در این محدوده قرار ندارند و منشأ آنها از سنگ کره گوشه‌ای نمی‌باشد.

## ۷- نتیجه‌گیری

- سنگ‌های آتشفشنایی کوارٹرنی در منطقه آذربایجان غربی در شمال باخترا ایران ایالت آتشفشنایی قاره‌ای گستردگی را در فلات مرتفع ایران - ترکیه در آنانولی خاوری و در کمریند آلب - هیمالیا تشکیل داده‌اند که در بررسی‌های سنگ‌شناسی دارای طیف ترکیبی، بازالت تا موژه آریت هستند. با توجه به ویژگی‌های صحرایی و سنگ‌شناسی سنگ‌های بازیک کوارٹرنی در ۵ محدوده شمال ماکو، بازرگان - ماکو - پلدشت، چالدران، سلماس و باختراومیه موربد بررسی قرار گرفته‌اند. گدازه‌های بازالتی آرارات بخش وسیعی از شمال ماکورا پوشانیده و در منطقه چالدران خروج ماگمای بازالتی از محل شکستگی‌های ژرف با ترکیب تراکی بازالت تا تراکیت، مشابه با فعالیت آتشفشنان تندروک در ترکیه است.

- با مطالعه نسبت‌های ایزوتوپی  $Nd^{143}/Nd^{144}$  و  $Sr^{87}/Sr^{86}$  نمونه بازالت‌های منطقه عموماً در محدوده ترکیب کلی زمین (Bulk Earth) و برخی (شمال آذربایجان) در محدوده ترکیب گوشه‌ای به نسبت تهی شده، در محدوده آرایه گوشه‌ای قرار گرفته‌اند.

- تراکی بازالت‌های چالدران از بیشترین نسبت ایزوتوپی  $Sr^{87}/Sr^{86}$  و بازالت‌های شمال ماکو از کمرین این نسبت برخوردار است. بازالت‌های منطقه سلماس دارای کمرین نسبت  $Nd^{143}/Nd^{144}$  و سنگ‌های بازالتی مسیر رودخانه زنگمار بیشترین این نسبت را دارا هستند. بازالت‌های شمالی منطقه (با مقادیر کمتر  $Sr^{87}/Sr^{86}$ ) منشأ گوشه‌ای و تراکی بازالت‌های چالدران و سلماس (مقادیر بیشتر  $Sr^{87}/Sr^{86}$ ) منشأ گوشه‌ای با آلایش پوسته‌ای را نشان می‌دهند.

- از سمت شمال باخترا تا جنوب خاوری منطقه از نسبت‌های ایزوتوپی  $Nd$  کاسته و بر نسبت‌های ایزوتوپی  $Sr$  افزوده می‌شود که روند افزایش آلایش پوسته‌ای به طور کامل محسوس است.

- بازالت‌های نواحی شمال منطقه دارای نسبت‌های  $Sm/Nd$  بالا و  $Rb/Sr$  کم هستند که مشابه جامد‌های باقی مانده از ذوب بخشی گوشه تفريقي یافته و به نسبت تهی شده با اندکی آلایش پوسته‌ای هستند.

- بازالت‌های چالدران از نسبت‌های  $Sm/Nd$  پایین  $Rb/Sr$  بالای برخوردارند و با اندیس تفريقي (F/M) بالا، گویای بازالت‌های تفريقي یافته همراه با آلوودگی پوسته‌ای به نسبت بالا هستند.

- بازالت‌های سلماس و باختراومیه نیز دارای نسبت‌های  $Sm/Nd$  تا حدودی پایین هستند اما با توجه به کمرین اندیس تفريقي (F/M)، نشان از بازالت‌های گوشه‌ای کمر تفريقي یافته ولی با آلوودگی پوسته‌ای اساسی دارند. بازالت‌های دهانه آتشفشنایی سلماس دارای الیون‌های غنی از منیزیم (F0=۸۸%) هستند و نسبت ایزوتوپی  $Nd^{143}/Nd^{144}$  پایین آنها نشان از آلوودگی پوسته‌ای (شواهد سنگ‌نگاری نیز وجود بیگانه‌بلورهای کوارتز را در سنگ‌های منطقه و در نتیجه آلوودگی پوسته‌ای را تأیید نموده است) دارد.

- در مقایسه بازالت‌های منطقه مورد مطالعه با بازالت‌های کوارترنی آرارات و تندروک در ترکیه، بازالت‌های این مناطق به طور معمول در محدوده ترکیب اصلی تندروک هستند. بازالت‌های شمال منطقه آذربایجان مشابه بسیاری با زمین و با منشأ گوشه‌ای هستند. بازالت‌های از آرارات و از گوشه به نسبت تهی شده ناشی شده‌اند.

- بازالت‌های منطقه افزون بر متاثر بودن از منشأ تحت تأثیر دو فرایند تفريقي مگماهایی در پوسته و آلوودگی پوسته‌ای قرار گرفته‌اند. تراکی بازالت‌های چالدران قابل مقایسه با سنگ‌های بازیک منطقه تندروک ترکیه بوده و تفريقي یافته‌ترین

و با نسبت ایزوتوپی  $Sr^{87}/Sr^{86}$  از  $70/49.79$  تا  $70/57.05$  در روند آلایش پوسته‌ای قرار دارند و بازالت‌های مناطق شمالی از بورلان (شمال ماکو) به سمت ماکو در روند فرایند تبلور بخشی (FC) واقع شده‌اند.

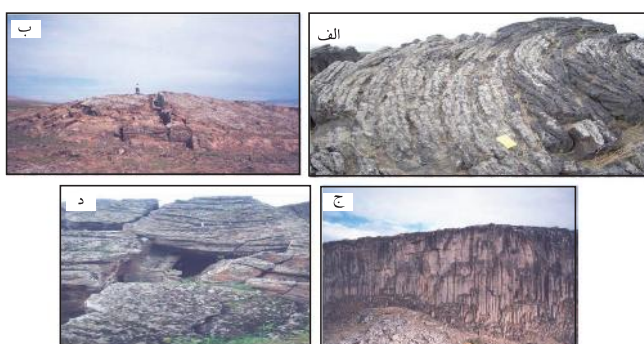
نسبت‌های  $SiO_2$  و پایین  $MgO$  در برابر نسبت ایزوتوپی  $Sr$  تحولات مگماهای منشأ گوشه‌ای را نشان می‌دهد (Alici et al., 1998). بازالت‌های  $SiO_2=48/11$  و  $MgO=4/46$  آلایش نیافته‌ترین بازالت‌های منطقه و تراکی بازالت‌های منشوری چالدران با  $SiO_2=50/43$  و  $MgO=3/85$  آلایش یافته‌ترین بازالت‌های منطقه است.

تغییرات نسبت ایزوتوپی  $Nd^{143}/Nd^{144}$  در برابر اندیس مولی (Thirlwall & Jones, 1983) آلوودگی پوسته‌ای را نشان می‌دهد (شکل ۱۴). نمودار تغییرات ایزوتوپی  $Nd^{143}/Nd^{144}$  در برابر اندیس تفريقي عناصر اصلی (F/M)، ناشی از فرایندهای متوالی آلایش مگماهای با پوسته است از این رو بازالت‌های اولیه با کمرین نسبت  $F/M$  در بازالت‌های پایین تری از  $Nd$  (Dickin, 2005) در این نمودار با بررسی نمونه‌های بازالتی منطقه آذربایجان غربی مشخص می‌شود که در نمونه‌های شمالی، نسبت‌های ایزوتوپی  $Nd$  بالا که از ویژگی‌های مگماهای گوشه‌ای است و با کاهش اندیس  $F/M$  از نمونه‌های شمالی منطقه به سمت سلماس و با افزایش اندیس  $F/M$  به سمت چالدران، کاهش می‌اید. بازالت‌های شمالی آلایش پوسته‌ای اندکی دارند. تراکی بازالت‌های منطقه چالدران با اندیس  $F/M$  بالا بیانگر بازالت‌های آلایش یافته در منطقه، با بیشترین تفريقي یافتنگی هستند، در حالی که بازالت‌های منطقه سلماس با بیشترین اندیس  $F/M$  و نسبت‌های ایزوتوپی  $Nd^{143}/Nd^{144}$ ، بیانگر سنگ‌هایی با تفريقي محدودتر در پوسته و ظاهرآ  $\Delta$  آلوودگی پوسته‌ای هستند. تشکیل زاویه مایل در محدوده ترکیبی گدازه، مبتنی بر سازوکار آلوودگی متأثر از تفريقي یافتنگی‌های واپسی است. نمودار روندهای صعودی مایل نمونه‌ها از سلماس تا شمال منطقه می‌تواند ناشی از تأثیر سازوکار آلایش بر سنگ‌های با مگماهای همزاد تفريقي یافته باشد.

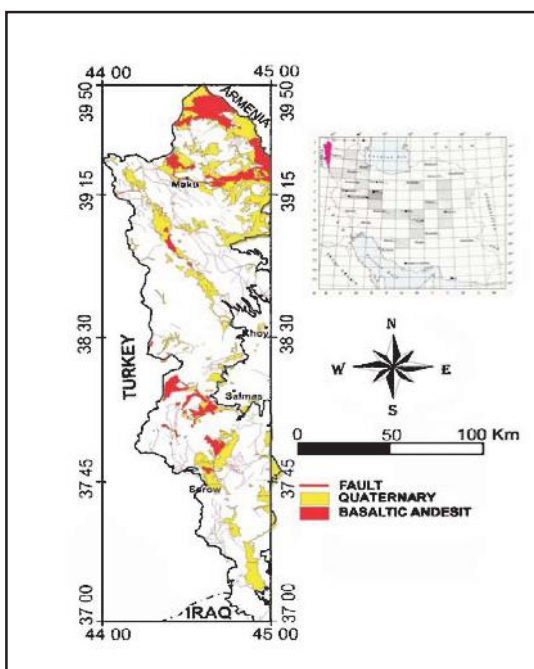
بر اساس شکل ۱۴، نمونه‌ای از دهانه آتشفشنایی (کراتر) سلماس در تعادل با الیونین بازالت‌های منیزیم دار گوشه‌ای با فورستریت بالا ( $F0=88\%$ ) دیده می‌شود که با نسبت  $F/M$  و  $Nd^{143}/Nd^{144}$  تا حدودی پایین، تفريقي یافتنگی کمرین را نشان می‌دهد. نظر به این که بیشتر بازالت‌های اولیه (با کمرین نسبت‌های  $F/M$ ) با مقادیر پایین تر از  $Nd$  حساسیت بیشتری نسبت به آلایش دارند (Thirlwall and Jones, 1983)، منطقه بازرگان - ماکو - پلدشت ظاهرا با نسبت  $Nd^{143}/Nd^{144}$  بالا، دارای کمرین آلوودگی پوسته‌ای و به طور محدود تفريقي یافته‌اند و نمونه‌های بازیک چالدران، تفريقي یافته‌ترین سنگ‌های بازیک منطقه و با آلوودگی مواد پوسته‌ای هستند.

به این علت که ایزوتوپ‌های رادیویونیک به تنهایی توان جداسازی منشأ سنگ‌ها از گوشه غنی شده و یا پوسته را ندارند، می‌توان از نسبت‌های عناصر ناسازگار و داده‌های ایزوتوپی پایدار استفاده نمود.

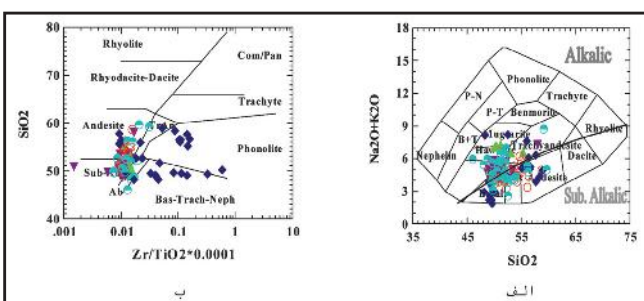
از نسبت  $K_2O/P_2O_5$  در برابر نسبت‌های ایزوتوپی  $Sr$ ، به عنوان یک اندیس آلوودگی پوسته‌ای استفاده شده است (Carlson & Hart, 1988)، از این رو در نمونه‌های منطقه از این نمودار برای این جداسازی استفاده شده است (شکل ۱۵) و این الگر را با آلوودگی مگماهای از یک منبع گوشه تهی شده (۱) ناشی از واحدهای پوسته‌ای در ارتباط می‌دانند و در این نمودار، مدل‌های آمیختگی بین مگماهای بامنشا (۱) (به عنوان گوشه‌ای بالای سست کره) و آلایش‌های پوسته‌ای با نسبت‌های ایزوتوپی متفاوت نشان داده شده است که بازالت‌های بورلان و دهانه آتشفشنایی سلماس در این محدوده قرار گرفته‌اند، در این نمودار، نمونه‌ای از منطقه سلماس که نسبت  $K_2O/P_2O_5$  و  $Sr^{87}/Sr^{86}$  کم تا متوسط و نسبت ایزوتوپی  $Sr$  کمی برخوردارند، بازالت‌هایی از منبع گوشه تهی شده با آلایش اندک پوسته‌ای هستند، این سنگ‌ها نشان از



شکل ۱- (الف) نمایی از گذازهای طبایی بورلان. (ب) نمایی از تومولوس‌های بازالتی پلداشت. (ج) نمایی از بازالت‌های منشوری چالدران. (د) نمایی از غارهای بازالتی بورلان



شکل ۲- نقشه ساده شده زمین‌شناسی نمایش بازالت‌های کواترنری، اقتباس از نقشه ۱:۲۵۰۰۰ سرو، خوی و ماکو

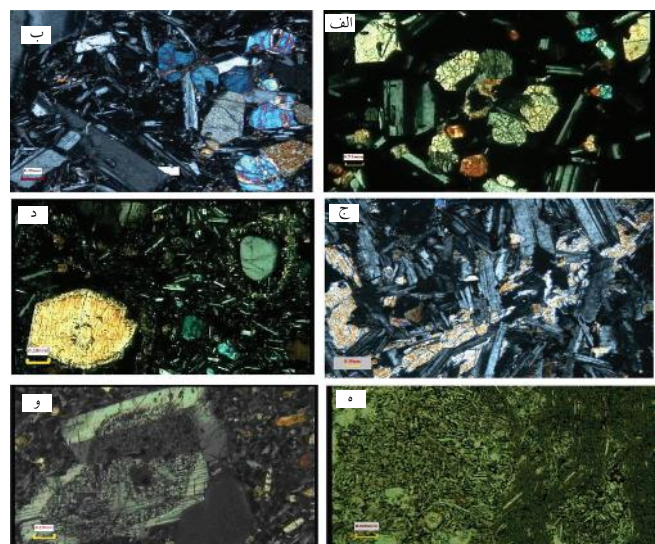


شکل ۴- (الف) نمودار طبقه‌بندی سنگ‌های منطقه بر اساس عناصر اصلی (Cox et al., 1979) (b) نمودار طبقه‌بندی سنگ‌های منطقه بر اساس عناصر کمیاب (Winchester & Floyd, 1976) عالم: شمال ماکو (○)، بازگان-ماکو-پلداشت (▽)، چالدران (▲)، سلماس (◆)، باختر ارومیه (◇)

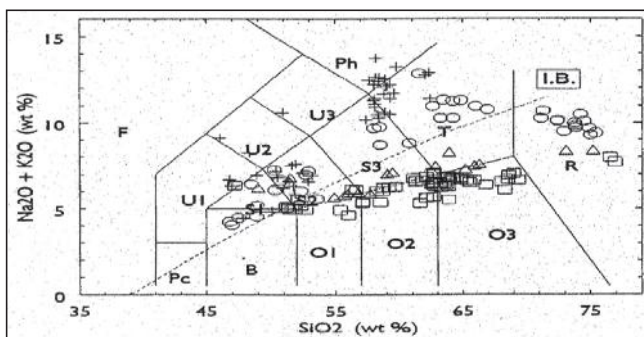
سنگ‌های آلدود با پوسته هستند. در حالی که بازالت‌های سلماس و باختر ارومیه کمتر تفریق یافته و با توجه به نسبت پایین  $^{143}\text{Nd}/^{144}\text{Nd}$  و دلایل سنگ‌نگاری (وجود بیگانه بلورهای کوارتز) آلدودگی پوسته‌ای دارند. بازالت‌های شمال آذربایجان از گوشته تهی شده منشأ شده‌اند و دارای تفریق مagmaی محدود و آلدودگی اندک هستند. - شواهدی مبنی بر منشأ گوشته غنی از Rb (گوشته متاسوماتیکی) در زون‌های فروزانش که موجب افزایش نسبت ایزوتوپی  $^{87}\text{Sr}/^{86}\text{Sr}$  می‌شود، در بازالت‌های کواترنری آذربایجان دیده نمی‌شود و انواع غنی از نسبت ایزوتوپی Sr، در این بازالت‌ها دلایل سنگ‌نگاری و صحرایی روشی مبنی بر آلدودگی پوسته‌ای را در بر دارند.

جدول ۱- نتایج تجزیه‌های ایزوتوپی Sr و Nd نمونه‌های منطقه مورد مطالعه

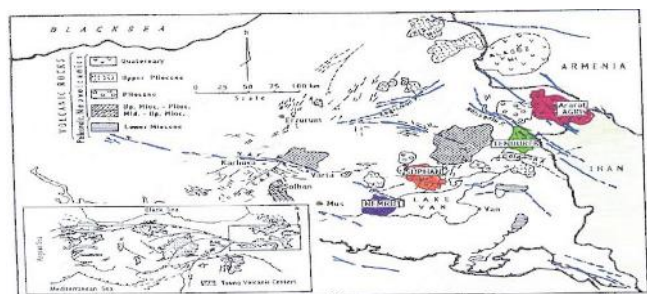
Sample Name	Area	$^{87}\text{Sr}/^{86}\text{Sr}_{\text{n}}$	$^{143}\text{Nd}/^{144}\text{Nd}_{\text{n}}$
Mu6-11	شمال ماکو	۰/۷۰۴۴۵۲	۰/۵۱۲۸۳۲
Mu11-16	چالدران	۰/۷۰۵۷۰۵	۰/۵۱۲۷۰۸
Mu12-17	چالدران	۰/۷۰۵۶۰۰	۰/۵۱۲۶۹۰
Mu13-18	چالدران	۰/۷۰۵۰۰۸	۰/۵۱۲۷۵۳
Mu14-19	سلماس	۰/۷۰۵۳۳۸	۰/۵۱۲۶۳۰
Mu15-20	سلماس	۰/۷۰۴۹۷۹	۰/۵۱۲۶۲۷
Mu16-23	سلماس	۰/۷۰۵۵۷۰	۰/۵۱۲۶۴۳
Mu18-25	بازرگان-ماکو-پلداشت	۰/۷۰۴۶۵۷	۰/۵۱۲۹۲۳
Mu20-26	بازرگان-ماکو-پلداشت	۰/۷۰۴۴۶۱	۰/۵۱۲۸۳۲
RK4	باختر ارومیه	۰/۷۰۵۱۶۳	۰/۵۱۲۶۵۴



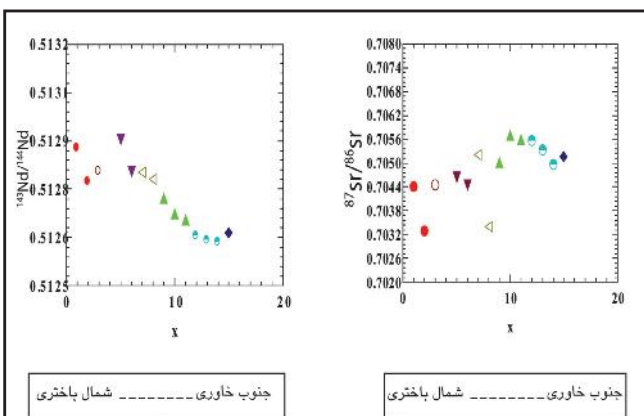
شکل ۳- تصاویر میکروسکوپی بازالت‌های منطقه در نور XPL، (الف) بافت هیالوپیریتیک در بازالت‌های شمال ماکو، تصویر در نور PPL، (ب) بافت هیالومیکرویتیک پروفیلیک در تراکی بازالت‌های چالدران، تصویر در PPL، (ج) بافت ایترستال در بازالت‌های ماکو-پلداشت تصویر در PPL، (د) کوارتز با حاشیه واکنشی در بازالت‌های سلماس تصویر در PPL، (ه) تداخل دو نوع شیشه تیره و روشن در خمیره برخی از بازالت‌های مناطق جنوبی تصویر در XPL، (و) فلدسپارهای منطقه سلماس با بافت غربالی، تصویر در PPL



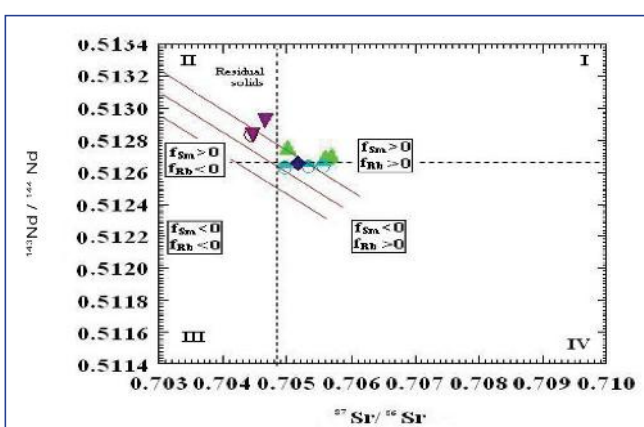
شکل ۶- نمودار مجموع قلایابی در برابر  $\text{SiO}_2$  سنگ‌های آتششانی آناتولی خاوری از Irvine & Baragar (1971) میز بین قلایابی و نیمه‌قلایابی از (Le Bas et al., 1986)  
علائم: آراوات (+)، تندورک (△)، سلماس (□)، راستم (○)



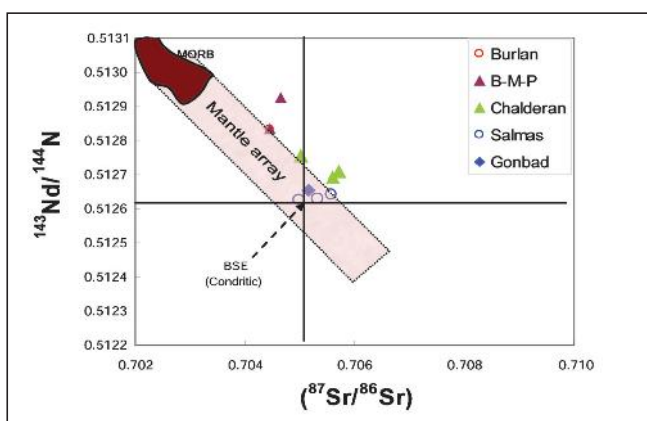
شکل ۵- مراکز آتششانی مهم و گسل‌های اصلی ترکیه در مجاورت مرز ایران  
(Yilmaz et al., 1998)



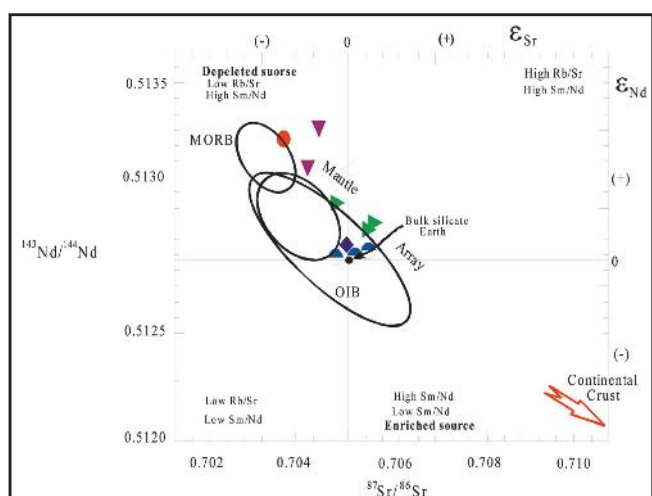
شکل ۷- تغیرات نسبت‌های ایزوتوپی  $^{143}\text{Nd}/^{144}\text{Nd}$  و  $^{87}\text{Sr}/^{86}\text{Sr}$  در برابر فاصله فرضی X از شمال باختری تا جنوب خاوری منطقه آراوات و تندورک در برابر فاصله فرضی X، شمال ماکو (○)، بازگان-ماکو-پلدشت (▼)، چالدران (▲)، سلماس (◆)، باختر ارومیه (◇)، سلماس (○)، باختر ارومیه (▲)



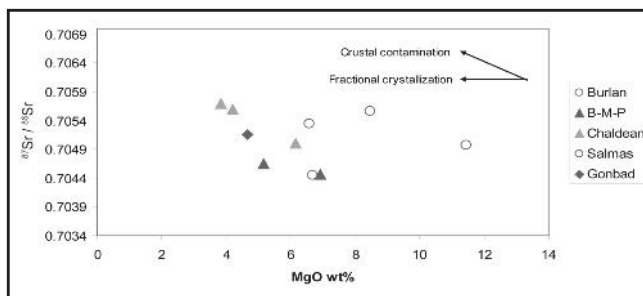
شکل ۸- توزع نسبت‌های ایزوتوپی  $^{143}\text{Nd}/^{144}\text{Nd}$  در برابر  $^{87}\text{Sr}/^{86}\text{Sr}$  بازالت‌های منطقه در برابر آرایش گوشته‌ای  
علائم: شمال ماکو (○)، بازگان-ماکو-پلدشت (▼)، چالدران (▲)، سلماس (◆)، باختر ارومیه (◇)



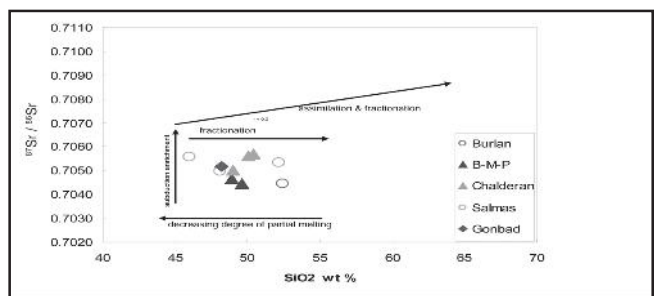
شکل ۹- نسبت‌های ایزوتوپی  $^{143}\text{Nd}/^{144}\text{Nd}$  در برابر  $^{87}\text{Sr}/^{86}\text{Sr}$  در منطقه مورد مطالعه (Aldanmaz et al., 2000)  
علائم: شمال ماکو (○)، بازگان-ماکو-پلدشت (▼)، چالدران (▲)، سلماس (◆)، باختر ارومیه (◇)



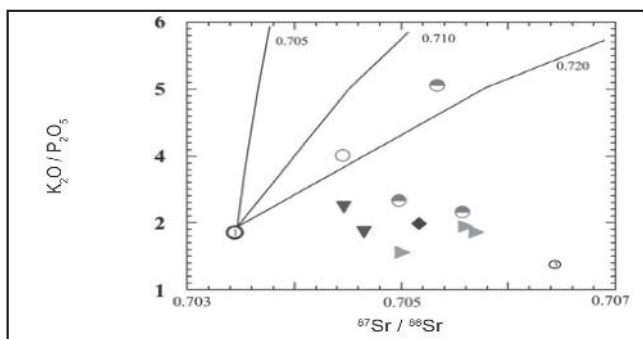
شکل ۱۰- نمودار همبستگی ایزوتوپی  $^{143}\text{Nd}/^{144}\text{Nd}$  در برابر  $^{87}\text{Sr}/^{86}\text{Sr}$ ، (Rollinson, 1993) که تفاوت بین نسبت‌های اندازه گیری شده  $^{87}\text{Sr}/^{86}\text{Sr}$  و  $^{143}\text{Nd}/^{144}\text{Nd}$  در سنگ‌های منطقه نسبت به ترکیب اصلی زمین را نشان می‌دهد.  
علائم: آراوات (●)، تندورک (▲)، شمال ماکو (○) بازگان-ماکو-پلدشت (▼)، چالدران (◆)، سلماس (○)، گنبد (◆)



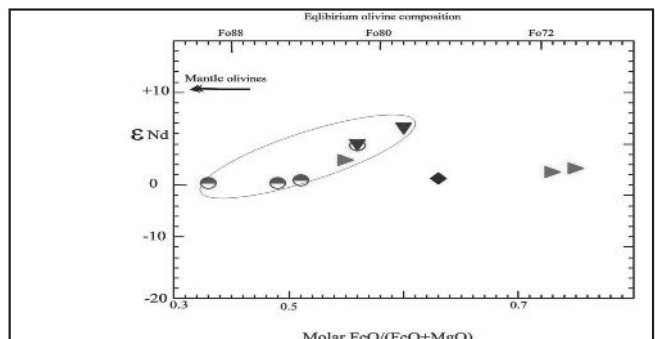
شکل ۱۳- نمودار نسبت ایزوتوپی Sr در برابر  $MgO$  (Alici et al., 1998) برای تأثیر فرایندهای AFC و FC در منشأ سنگ‌های بازالتی منطقه. علامت: شمال ماکو (○)، بازگان-ماکو-پلدشت (▽)، چالدران(▲)، سلماس(△)، باخته ارومیه (◆)



شکل ۱۲- نمودار نسبت ایزوتوپی Sr در برابر  $SiO_2$  (Pearce et al., 1990) برای تأثیر فرایندهای AFC و FC در منشأ سنگ‌های بازالتی منطقه. علامت: شمال ماکو (○)، بازگان-ماکو-پلدشت (▽)، چالدران(▲)، سلماس(△)، باخته ارومیه (◆)



شکل ۱۵- اندیس آلاش پوسته‌ای  $K_2O/P_2O_5$  در برابر نسبت‌های ایزوتوپی  $^{87}Sr/^{86}Sr$  بازالت‌های منطقه (Carlson & Hart, 1988). علامت: شمال ماکو (○)، بازگان-ماکو-پلدشت (▽)، چالدران(▲)، سلماس(△)، باخته ارومیه (◆)



شکل ۱۴- تغییرات نسبت ایزوتوپی  $^{143}Nd/^{144}Nd$  در برابر اندیس F/M (Thirlwall and Jones, 1983) علامت: شمال ماکو(○)بازگان-ماکو-پلدشت(▽)چالدران(▲)سلماس(△)،باخته ارومیه (◆)

## کتابنگاری

خبر خواه، م.، ۱۳۸۵- بررسی پترولوری و ژئوشیمی بازالت‌های کواترنری ایران (آذربایجان) و تعیین موقعیت ژئodynامیکی آن، رساله دکتری، دانشگاه آزاد اسلامی واحد علوم و تحقیقات.

## References

- Ajlegre, C. J., Dupre, B., Rousseau, P. RD., 1982- Sub continental versus oceanic mantle, 11. Nd-Sr-Pb isotopic comparison of continental tholeiites with mid-ocean ridge tholeiites, and the structure of the continental lithosphere. Earth Planet. Sci. Letters, 57, 25-34
- Alicci, P., Temel, A., Gourgaud, A., Kieffer, G., Gundogdu, M. N., 1998- Petrology and geochemistry of potassic rocks in the Golcuk area (Isparta, SW Turkey): genesis of enriched alkaline magmas. Journal of Volcanology and Geothermal Research 85(1998) 423-446.
- Aldanmaz, E., Pearce, J. A., Thirlwall, M. F., Mitchell, J. G., 2000- Petrogenetic evolution of late Cenozoic, Post – Collision volcanism in western Anatolia, Turkey. Journal of Volcanology and Geothermal Research 85(1998) 423-446.
- Baragar, W. R. A., 1971- A guide to the chemical classification of the common volcanic rocks Can .J. Earth Sci. 8 ,523-548.
- Best, M. G., Christiansen, E., 2001- Igneous Petrology.
- Carlson, R. W. and Hart, W. K., 1988- Flood basalt volcanism in the northwestern United States. In: MacDougall, J.D. (Ed.), Continental Flood basalts. Kluwer, pp. 35-62.
- Cox, K.G., Bell, J. D. and Pankhurst, R. J., 1979- The interpretation of igneous rocks, London, George Allen & Unwin, 450 PP.
- Dickin, A. P., 2005- Radiogenic Isotope Geologypp.174-232Irvine, T. N,
- Faure, G., 2001- Origin of Igneous Rocks: the Isotopic Evidences. Springer-Verlag, Heidelberg.
- Faure, G., 1986- Principles of Isotope geology
- Floyd, P. A. and Winchester, J. A., 1976- Geochemical discrimination of different magma series and their differentiation products using immobile elements, Chemical Geology, 325-343.
- Irvine, T. N. and Baragar W. R. A., 1971- A guide to chemical classification of the common volcanic rocks: Can. J. Sci. 8, 523-548
- Pearce, J. A., Bender, J. F., De Long, S. E., Kidd, W. S. F., Low, P. J., Güner, Y., Saroglu, F., Yilmaz, Y., Moorbat, S. and Mitchell, J. G., 1990- Genesis of collision volcanism in eastern Anatolia, Turkey. Journal of Volcanology and Geothermal Research, 44: 189-229
- Rollinson, H. R., 1993- Using geochemical data: Evaluation presentation interpretation, Longman Scientific&Technical. 352pp.
- Thirlwall, M. F. and Jones, N. W., 1983- Isotope geochemistry and contamination mechanism of Tertiary lavas from Skye, northwest Scotland pp.186-208
- Yilmaz, Y., Guner, Y., Saroglu, F., 1998- Geology of the quaternary volcanic centers of the east Anatolia. Journal of Volcanology and Geothermal Research 85 (1998) 173-210

# The Origin and Evolution of Quaternary Basaltic Magmas in NW Azerbaijan (Burlan to Gonbad) using Sr- Nd Studies

M. Kheirkhah<sup>1\*</sup> & M. H. Emami<sup>1</sup>

<sup>1</sup>Research Institute for Earth Sciences, Geological Survey of Iran, Tehran

Received: 2009 March 07

Accepted: 2009 December 12

## Abstract

At the farthest end of NW Iran, the Quaternary basalts crop out in Azerbaijan province, located in Alpine – Himalaya belt and highly plateau of Iran-Turkish, eastern Anatolian. The Quaternary volcanic units of NW Azerbaijan cover a broad compositional range from basalts, basaltic andesite, trachy andesite to trachyte. These rocks are erupted from deep tension, strike-slip faults in a pull apart basin and volcanic centers. Source of primary magmas and crustal contamination processes have certainly contributed to the understanding of the origin of basaltic rocks. Based on field area, petrography and petrology studies, 10 samples were selected for  $^{143}\text{Nd}/^{144}\text{Nd}$  and  $^{87}\text{Sr}/^{86}\text{Sr}$  measurements. The obtained results were correlated with other isotopic data of similar Quaternary basaltic rocks from Turkey. Isotopic study indicates that all of these rocks are derived from mantle and plot in Bulk Earth field and mantle array. The basaltic rocks in the northern area are derived from a depleted mantle and those from the southern area shows contamination by crust.

**Keywords:** NW Azerbaijan, Quaternary basaltic rocks, Isotopic study, Primary magmas, Depleted mantle, Crustal contamination.

For Persian Version see pages 113 to 118

\*Corresponding author: M. Kheirkhah; E-mail: Kheirkhah.monireh@gmail.com

# Mineralography, Structural and Textural Studies and Genesis of Zaker Iron - Apatite Deposit (Northeast of Zanjan)

N. Khanmohammadi<sup>1\*</sup>, A. Khakzad<sup>2</sup> & J. Izadyar<sup>1</sup>

<sup>1</sup> Dep. of Geology, Faculty of Sciences, Zanjan University, Zanjan, Iran.

<sup>2</sup>Faculty of Earth Sciences, Shahid Beheshti University, Tehran, Iran.

Received: 2007 December 17      Accepted: 2009 April 18

## Abstract

Zaker iron deposit is located in the northeast of Zanjan city and is a part of Tarom volcano – plutonic belt in Azarbaijan – West alborze structural zone. The main rocks of the area consist of folded volcanic - volcanoclastic rocks including breccia tuff, lapilli-tuff and andezitic – basaltic lava of Amand member of Karaj formation with Eocene age that folded. Plutonic rocks with probably Oligocene age with various lithology changing from quartzmonzodiorite, quartzmonzonite to quartzsyenite with NW-SE trend were intruded into the volcanic – volcanoclastic rocks. Fe-mineralization occurred in interval of plutons and volcanic - volcanoclastic rocks. The main ore mineral is magnetite – apatite with minor amounts of quartz and calcite. As well as magnetite- apatite mineralization, pyrite with minor amounts of chalcopyrite occurred in sulphide veinlets. The mineralization has been seen in five forms: veinlets of magnetite in form of stock- work, massive magnetite- apatite, banded magnetite- apatite, coarse grained magnetite- apatite veins and sulphide veinlets. Intrusion of ore deposit into host volcanic rocks, are associated with skarn metasomatism that form actinolite, talc, chlorite, phlogopite, quartz, calcite and epidote. Geothermobarometry for the skarn part, indicate that  $X_{\text{CO}_2}$  is about 0.9, pressure of 2 kbar and the temperature is about 400-500 °C for metamorphic reactions. Detailed studies on textures and structures suggest the source of the iron from Zaker granitoid body and volcanic rocks are host rocks for iron deposit. Mineralography investigations are indicative of magmatic origin and show the best correlation with "Kiruna-type" iron ores.

**Keywords:** Zaker, Azarbaijan –West Alborze structural zone, Magnetite – apatite, Skarn, Geothermobarometry, Kiruna

For Persian Version see pages 119 to 126

\* Corresponding author: N.Khanmohammadi; Email: Khanmohammadi15694@yahoo.com